

١٨١٧



دانشگاه شهید بهشتی رام

دانشکده فنی و مهندسی
گروه مهندسی عمران

پایان نامه تحصیلی برای دریافت درجه کارشناسی ارشد عمران - سازه

**انتخاب روش توزیع بار جهت آنالیز غیرخطی استاتیکی در
طراحی عملکردی قاب‌های فلزی با اتصالات خورجینی**

استاد راهنمای:

دکتر جواد سلاجقه

استاد مشاور:

دکتر عیسی سلاجقه

مؤلف:

عادل غفاری

۱۳۸۸/۴/۲۶

اتصالات مدرن سمنی میرزا
شهریور ماه ۱۳۸۷

شهریور ماه ۱۳۸۷

۱۱۰۱۷۲



دانشگاه شهید بهشتی کرمان

این پایان نامه به عنوان یکی از شرایط احراز درجه کارشناسی ارشد به

گروه مهندسی عمران

دانشکده فنی و مهندسی

دانشگاه شهید بهشتی کرمان

تسلیم شده است و هیچگونه مدرکی به عنوان فراغت از تحصیل دوره مذبور شناخته نمی شود.

دانشجو: عادل غفاری

استاد راهنمای: دکتر جواد سلاجقه

داور ۱: دکتر محمد جواد فدایی

داور ۲: دکتر حامد صفاری

معاونت پژوهشی و تحصیلات تکمیلی یا نماینده دانشکده: دکتر سعید شجاعی

حق چاپ محفوظ و مخصوص به دانشگاه شهید بهشتی کرمان است.



لقدِیم بہ

پدرم، که در سایه لطف او آرامش و آسایش را مغنا نمودم
مادرم، آنکه از هر شاخه نگاهش بجز سکوفه‌های محروم و محبت، عشق و شفقت،

پنجم

برادرانم، که وجودم با وجود پایدار آنها مفهوم و معنی می‌یابد

خواهرانم، فرشتگان پاک و معصوم آسمان حیاتم

تشکر و قدردانی

خداآوند سبحان را سپاسگزارم که به من توفيق داد تا در راه علم و دانش تحقیق نمایم. اینجانب به مصداق آیه شریفه "من لم یشکر المخلوق لم یشکر الخالق" بر خود لازم می‌دانم مراتب قدردانی و تشکر خویش را نسبت به زحمات دلسوزانه استاد راهنمای مکرم و معزز خویش جناب آقای دکتر جواد سلاجقه و همچنین استاد مشاور ارجمندم جناب آقای دکتر عیسی سلاجقه که با راهنمایی‌های ارزنده و مساعدت‌های فکری، مرا در انجام این پایان‌نامه یاری نمودند، ابراز داشته و توفيق آنان را از ایزد منان خواهانم.

از اساتید محترم آقایان دکتر محمد جواد فدایی، دکتر حامد صفاری و دکتر سعید شجاعی برای قبول زحمت و تشریف فرمایی در جلسه دفاعیه تشکر می‌نمایم.

ضمناً فرصت را مغتنم شمرده از جناب آقای مهندس افشین محمدی، یار و غمخوار بنده که بسان یک برادر پیوسته در تمامی مراحل انجام این تحقیق مرا یاری نمودند کمال تشکر را دارم. و در پایان از دوستان عزیزم جناب آقای دکتر محمد فروغی، خانم مهندس رویا دیده‌بان، آقایان مهندس غلامرضا عاطفت‌دوست، مهندس حمید خوش‌نیت، مهندس محسن خطیبی، مهندس حمیدرضا امیری، مهندس علی فخرالدینی، مهندس علیرضا بهزادی و کلیه عزیزانی که در طی مراحل انجام رساله همکاری صمیمانه‌ای با اینجانب داشتند، تشکر و قدردانی می‌نمایم.

عادل غفاری - شهریور ۱۳۸۷

فهرست مطالب

۱	چکیده
۲	فصل اول: مقدمه
۲	۱-۱ مقدمه
۵	۲-۱ مژوری بر تحقیقات انجام شده
۵	۱-۲-۱ تحقیقات کرمی و مقدم
۸	۲-۲-۱ تحقیقات سیمونیان و کافی
۸	۳-۲-۱ تحقیقات طاحونی و فرجودی
۱۲	۴-۲-۱ تحقیقات آفاکوچک و حسینخانی
۱۳	۵-۲-۱ تحقیقات فروغی، زاهدی و برخورداری
۱۳	۶-۲-۱ تحقیقات قانع و مقدم
۱۵	۷-۲-۱ تحقیقات فلاح و برخورداری
۱۶	۸-۲-۱ تحقیقات طریقت و مالک
۱۶	۹-۲-۱ تحقیقات یعقوبی و رازانی
۱۷	۱۰-۲-۱ تحقیقات مقدم و کوهیان
۱۸	۱۱-۲-۱ تحقیقات ملکی و تهرانی‌زاده
۱۹	۱۲-۲-۱ تحقیقات پیروزبخت و رازانی
۲۰	۱۳-۲-۱ تحقیقات علوی و تهرانی‌زاده
۲۰	۱۴-۲-۱ تحقیقات آشنایی، کاظم و تیو
۲۰	۱۵-۲-۱ تحقیقات فتحی و آفاکوچک
۲۱	۱۶-۲-۱ تحقیقات مزروعی و مصطفایی
۲۴	۱۷-۲-۱ تحقیقات میرقاداری، مزروعی و دهقانی‌رنانی
۲۵	۱۸-۲-۱ تحقیقات اربابی
۲۶	۱۹-۲-۱ تحقیقات صادقیان و مقدم
۳۰	۲۰-۲-۱ تحقیقات مقدم و مؤیدعلایی
۳۲	۳-۱ اهداف
۳۲	۴-۱ ساختار پایان‌نامه
۳۴	فصل دوم: اتصالات خورجینی
۳۴	۱-۲ مقدمه
۳۵	۲-۲ انواع قابهای ساختمانی و شرایط صلبیت اتصالات آنها
۳۵	۳-۲ اتصالات نیمه‌صلب
۳۶	۴-۲ رفتار قابهای نیمه‌صلب
۳۷	۳-۲ اتصال نیمه‌گیردار رایج در ایران (اتصال خورجینی)
۳۸	۴-۲ مزایای اتصالات خورجینی
۳۸	۱-۴-۲ سرعت و سادگی اجراء

۳۹	۲-۴-۲ تناسب با تراز تکنولوژی کشور
۳۹	۳-۴-۲ عوامل اقتصادی
۳۹	۱-۳-۴-۲ نبود نیمرخ IPB در کشور
۳۹	۲-۳-۴-۲ صرفه‌جویی در تیر
۴۰	۳-۳-۴-۲ کاهش ضخامت سقف
۴۰	۵-۲ مشکلات اتصال خورجینی
۴۱	۶-۲ مکانیزم انتقال لنگر در اتصال خورجینی
۴۲	۷-۲ صلبیت اتصالات خورجینی
۴۳	۸-۲ انواع اتصال خورجینی
۴۳	۱-۸-۲ اتصال خورجینی ساده
۴۳	۱-۱-۸-۲ جزیيات
۴۴	۲-۸-۲ اتصال خورجینی گیردار
۴۴	۱-۲-۸-۲ اتصال خورجینی گیردار با صفحات اتصال افقی
۴۵	۲-۲-۸-۲ اتصال خورجینی گیردار با صفحات اتصال قائم
۴۵	۳-۲-۸-۲ جزیيات
۴۶	۳-۸-۲ اتصال خورجینی با رفتار نیمه گیردار
۴۷	فصل سوم: مفاهیم پایه طراحی براساس عملکرد
۴۷	۱-۳ مقدمه
۴۸	۲-۳ شاخص مورد استفاده در طراحی براساس عملکرد
۴۹	۳-۳ مفهوم طراحی لرزه‌ای بر اساس عملکرد
۵۱	۴-۳ سطوح عملکرد
۵۲	۱-۴-۳ سطوح عملکرد اجزای سازه
۵۲	۲-۴-۳ سطوح عملکرد اجزای غیرسازه‌ای
۵۲	۳-۴-۳ سطوح عملکرد ساختمان
۵۴	۵-۳ خطرپذیری لرزه‌ای
۵۴	۶-۳ تلفیق خطرپذیری لرزه‌ای و سطوح عملکردی
۵۶	۷-۳ روش‌های تحلیل
۵۶	۱-۷-۳ روش‌های تحلیل خطی (LAP)
۵۶	۲-۷-۳ روش‌های غیرخطی
۵۶	۱-۲-۷-۳ تحلیل استاتیکی غیرخطی (NSP)
۵۷	۱-۲-۷-۳ پارامترهای موثر در نتایج تحلیل استاتیکی غیرخطی
۵۷	۱-۱-۱-۲-۷-۳ الگوهای بارگذاری
۵۷	۲-۱-۱-۲-۷-۳ رفتار اجزای سازه
۶۴	۲-۱-۲-۷-۳ برآورد نیاز لرزه‌ای
۶۴	۲-۲-۷-۳ تحلیل دینامیکی غیرخطی

۶۴	۱-۲-۲-۷-۳	۱- پارامترهای موثر در نتایج تحلیل دینامیکی غیرخطی
۶۴	۱-۱-۲-۲-۷-۳	۱- منحنی رفتاری اعضا
۶۶	۲-۱-۲-۲-۷-۳	۲- شتابنگاشتها
۶۶	۸-۳	۸-۳ معيارهای پذيرش
۶۷	۱-۸-۳	۱- اجزاء کنترل شونده توسيط تغييرشك
۶۸	۲-۸-۳	۲- اجزا کنترل شونده توسيط نيرو
۶۸	۱-۲-۸-۳	۱- ستونها
۷۰	فصل چهارم: روش استاتیکی غیرخطی ضرایب جابجایی اصلاح یافته و دینامیکی غیرخطی مقیاس شده	
۷۰	۱-۴	۱- مقدمه
۷۲	۲-۴	۲- ملاحظات خاص مدلسازی و تحلیل
۷۲	۴-۱	۴- ۱- کلیات
۷۲	۴-۲	۴- ۲- نقطه کنترل
۷۲	۴-۳	۴- ۳- توزيع بار جانبی
۷۲	۴-۴	۴- ۴- توزيع مodal
۷۳	۴-۵	۴- ۵- توزيع دوم
۷۴	۴-۶	۴- ۶- روش ضرایب جابجایی
۷۴	۴-۷	۴- ۷- تعریف پارامترهای استفاده شده در روش ضرایب جابجایی
۷۴	۴-۸	۴- ۸- ۱- پارامتر C_0
۷۴	۴-۹	۴- ۹- ۲- پارامتر C_1
۷۶	۴-۱۰	۴- ۱۰- پارامتر C_2
۷۷	۴-۱۱	۴- ۱۱- پارامتر C_3
۷۷	۴-۱۲	۴- ۱۲- روش ضرایب جابجایی اصلاح یافته
۷۷	۴-۱۳	۴- ۱۳- ضریب C_1
۷۸	۴-۱۴	۴- ۱۴- ضریب C_2 و C_3
۸۰	۴-۱۵	۴- ۱۵- روش آنالیز دینامیکی غیرخطی
۸۰	۴-۱۶	۴- ۱۶- روند انجام کار
۸۱	۴-۱۷	۴- ۱۷- روش آنالیز دینامیکی غیرخطی مقیاس شده
۸۱	۴-۱۸	۴- ۱۸- مراحل گام به گام
۸۳	۴-۱۹	۴- ۱۹- معرفی مدلها و شتابنگاشتها
۸۳	۵-۱	۵- مقدمه
۸۳	۵-۲	۵- ۲- معرفی مدلهای مورد مطالعه
۸۴	۵-۳	۵- ۳- بارگذاری و طراحی مقاطع
۸۵	۵-۴	۵- ۴- آنالیز و طراحی مدلها
۸۷	۵-۵	۵- ۵- نحوه مدلسازی اتصال خورجینی با SAP 2000
۸۸	۵-۶	۵- ۶- انتخاب سختی اتصال جهت آنالیز مدلها با نرم افزار SAP 2000

۸۹	۴-۵ معرفی شتابنگاشتهای انتخابی
۹۳	فصل ششم: بررسی نتایج مدلها
۹۳	۱-۶ مقدمه
۹۴	۲-۶ تحلیل و تعیین نیازهای لزمه‌ای مدل‌ها
۹۴	۲-۶-۱ تحلیل استاتیکی غیرخطی
۹۴	۲-۶-۱-۱ تعیین تغییرمکان هدف به وسیله روش ضرائب جابجایی
۹۶	۲-۶-۲ مقایسه و بررسی نتایج تغییرمکان‌های هدف مدل‌ها در روش‌های استاتیکی غیرخطی
۹۹	۳-۶ نتایج برش پایه- جابجایی و نمودار دو خطی معادل
۱۰۳	۲-۶-۳ تحلیل دینامیکی و بررسی رفتار سازه
۱۰۴	۱-۶-۲-۶ بررسی مدل چهار طبقه
۱۰۴	۱-۶-۲-۶-۱ نتایج ضرایب مقیاس در قاب چهار طبقه
۱۰۵	۱-۶-۲-۶-۲ نتایج نسبت ماکزیمم تغییرمکان نسبی طبقات در قاب چهار طبقه
۱۰۹	۱-۶-۲-۶-۳ بررسی مدل شش طبقه
۱۰۹	۱-۶-۲-۶-۴ نتایج ضرایب مقیاس در در قاب شش طبقه
۱۱۰	۱-۶-۲-۶-۵ نتایج نسبت ماکزیمم تغییرمکان نسبی طبقات در قاب شش طبقه
۱۱۴	۱-۶-۲-۶-۶ بررسی مدل هشت طبقه
۱۱۴	۱-۶-۲-۶-۷ نتایج ضرایب مقیاس در در قاب هشت طبقه
۱۱۵	۱-۶-۲-۶-۸ نتایج نسبت ماکزیمم تغییرمکان نسبی طبقات در قاب هشت طبقه
۱۲۰	۱-۶-۲-۶-۹ مقایسه نحوه توزیع نیرو در مدل‌های مورد بررسی
۱۲۱	فصل هفتم: نتیجه‌گیری و پیشنهادها
۱۲۱	۱-۷ نتیجه‌گیری
۱۲۳	۱-۷-۲ پیشنهادها
۱۲۵	۱-۷-۳ مراجع:

فهرست جداول

جدول ۱-۱ نتایج حاصل از آزمایش روی اتصال خورجینی (مقدم و کرمی).....	۸
جدول ۲-۱ نتایج حاصل از آزمایش روی اتصال خورجینی (آکاتوچک و حسینخانی).....	۱۳
جدول ۳-۱ مشخصات نمونه‌های آزمایشی (قانع و مقدم).....	۱۴
جدول ۴-۱ مقایسه نمونه‌های فرضی با آزمایش (قانع و مقدم).....	۱۵
جدول ۱-۵ فرکانس‌های مود اول اتصالات برای سریارهای مختلف (ملکی و تهرانی زاده (۱۳۷۴)).....	۱۹
جدول ۱-۶ فرکانس‌های پیچشی مود اول اتصالات برای سریار مختلف (علوی و تهرانی زاده (۱۳۷۵)).....	۲۰
جدول ۱-۷ درصد گیرداری و ظرفیت نهایی نمونه‌ها (مزروعی و مصطفایی (۱۳۷۷)).....	۲۳
جدول ۱-۸ خلاصه نتایج آزمایش‌ها روی نمونه‌های اتصالات خورجینی	۲۵
جدول ۱-۹ نتایج حاصل از مدلسازی کامپیوترا اتصالات خورجینی (صادقیان و مقدم (۱۳۷۸)).....	۳۰
جدول ۱-۱۰ نتایج حاصل از مدلسازی کامپیوترا اتصالات خورجینی (صادقیان و مقدم (۱۳۷۸)).....	۳۰
جدول ۱-۱۱ مشخصات نمونه‌های مورد آزمایش.....	۳۱
جدول ۱-۱۲ خلاصه نتایج آزمایش‌ها روی نمونه‌های اتصالات خورجینی	۳۱
جدول ۱-۳ سطوح عملکرد ساختمان.....	۵۳
جدول ۲-۲ سطوح خطرپذیری لرزه‌ای FEMA.....	۵۴
جدول ۳-۳ اهداف عملکردی معرفی شده در آییننامه‌های FEMA.....	۵۵
جدول ۱-۴ مقدار ضریب C_0	۷۴
جدول ۲-۴ مقدار ضریب C_m	۷۶
جدول ۳-۴ مقدار ضریب C_2	۷۶
جدول ۱-۵ پارامترهای مؤثر در تحلیل استاتیکی معادل.....	۸۴
جدول ۲-۵ مشخصات مقاطع قاب مهاربندی شده با اتصالات خورجینی متداول ۴ طبقه.....	۸۶
جدول ۳-۵ مشخصات مقاطع قاب مهاربندی شده با اتصالات خورجینی متداول ۶ طبقه.....	۸۶
جدول ۴-۵ مشخصات مقاطع قاب مهاربندی شده با اتصالات خورجینی متداول ۸ طبقه.....	۸۶
جدول ۵-۵ رکوردهای مورد استفاده در مدل قاب چهار طبقه.....	۹۰
جدول ۶-۵ رکوردهای مورد استفاده در مدلها.....	۹۰
جدول ۱-۶ تغییرمکان هدف در قابهای چهار، شش و هشت.....	۹۷
جدول ۲-۶ حداقل تغییرمکان جانبی نسبی مجاز.....	۱۰۴
جدول ۳-۶ ضرایب مقیاس رکوردها در آنالیز اولیه قاب چهار طبقه.....	۱۰۴
جدول ۴-۶ ضرایب مقیاس رکوردها در آنالیز قاب چهار طبقه.....	۱۰۵
جدول ۵-۶ مقادیر نسبت تغییرمکان نسبی و درصد خطای روش‌های Code-440 و SNDP در قاب چهار طبقه.....	۱۰۶
جدول ۶-۶ سطوح عملکرد و ضریب اطمینان کیفی در Code-440 و SNDP در قاب چهار طبقه.....	۱۰۷
جدول ۷-۶ مقادیر نسبت تغییرمکان نسبی و درصد خطای روش‌های Uniform-440 و SNDP در قاب چهار طبقه.....	۱۰۸
جدول ۸-۶ سطوح عملکرد و ضریب اطمینان کیفی در Uniform-440 و SNDP در قاب چهار طبقه.....	۱۰۹
جدول ۹-۶ ضرایب مقیاس رکوردها در آنالیز قاب شش طبقه.....	۱۱۰
جدول ۱۰-۶ مقادیر نسبت تغییرمکان نسبی و درصد خطای روش‌های Code-440 و SNDP در قاب شش طبقه.....	۱۱۱
جدول ۱۱-۶ سطوح عملکرد و ضریب اطمینان کیفی در Code-440 و SNDP در قاب شش طبقه.....	۱۱۲

جدول ۱۲-۶ مقادیر نسبت تغییرمکان نسبی و درصد خطا در روش‌های 440-Uniform و SNDP در قاب شش طبقه...	۱۱۳
جدول ۱۳-۶ سطوح عملکرد و ضریب اطمینان کیفی در 440-Uniform و SNDP در قاب شش طبقه	۱۱۴
جدول ۱۴-۶ ضرایب مقیاس رکوردها در آنالیز قاب هشت طبقه	۱۱۵
جدول ۱۵-۶ مقادیر نسبت تغییرمکان نسبی و درصد خطا در روش‌های 440-Code و SNDP در قاب هشت طبقه	۱۱۶
جدول ۱۶-۶ سطوح عملکرد و ضریب اطمینان کیفی در 440-Code و SNDP در قاب هشت طبقه	۱۱۷
جدول ۱۷-۶ مقادیر نسبت تغییرمکان نسبی و درصد خطا در روش‌های 440-Uniform و SNDP در قاب هشت طبقه	۱۱۸
جدول ۱۸-۶ سطوح عملکرد و ضریب اطمینان کیفی در 440- Uniform و SNDP در قاب هشت طبقه	۱۱۹

فهرست اشکال

..... شکل ۱-۱. مدل آزمایشگاهی اتصال خورجینی و جابجایی‌های اندازه‌گیری شده (مقدم و کرمی)	۶
..... شکل ۲-۱ نمونه‌های آزمایشگاهی (مقدم و کرمی)	۶
..... شکل ۳-۱ نمودارهای لنگر - چرخش (مقدم و کرمی)	۷
..... شکل ۴-۱ شکل کلی نمونه‌ها و نحوه اعمال بار (طاحونی و فرجودی)	۱۰
..... شکل ۵-۱ نمونه شماره ۱ - اتصال خورجینی ساده (طاحونی و فرجودی)	۱۰
..... شکل ۶-۱ نمونه شماره ۲ - اتصال خورجینی با تقویت لچکی (طاحونی و فرجودی)	۱۰
..... شکل ۷-۱ نمونه شماره ۳ - اتصال خورجینی ساده با نبشی ضعیفتر (طاحونی و فرجودی)	۱۱
..... شکل ۸-۱ نمونه شماره ۴ - اتصال خورجینی ساده با تقویت ورقه‌ای افقی (طاحونی و فرجودی)	۱۱
..... شکل ۹-۱ نمونه شماره ۵ - اتصال خورجینی ساده متعارف (طاحونی و فرجودی)	۱۲
..... شکل ۱۰-۱ نمودارهای لنگر - چرخش نمونه‌های مختلف (طاحونی و فرجودی)	۱۲
..... شکل ۱۱-۱ شکل کلی نمونه‌های آزمایشی (قانع و مقدم)	۱۴
..... شکل ۱۲-۱ تأثیر سختی اتصال بر لنگر انتهای یک تیر در اثر بار جانبی (کوهیان و مقدم)	۱۸
..... شکل ۱۳-۱ تأثیر سختی اتصال بر لنگر ستونهای کناری در اثر بار جانبی (کوهیان و مقدم)	۱۸
..... شکل ۱۴-۱ نمونه‌های اتصال خورجینی (مزروعی و مصطفایی)	۲۲
..... شکل ۱۵-۱ نمودارهای لنگر - چرخش نمونه‌های مختلف (مزروعی و مصطفایی)	۲۳
..... شکل ۱۶-۱ نمودار حلقوی اتصال خورجینی نمونه (مزروعی و مصطفایی)	۲۳
..... شکل ۱۷-۱ اشکال مدل‌های آزمایشگاهی	۲۴
..... شکل ۱۸-۱ منحنی لنگر - چرخش اتصال خورجینی یکطرفه در مقیاس یک دوم (اربایی)	۲۵
..... شکل ۱۹-۱ بارگذاری رفت و برگشتی اعمال شده به نمونه (اربایی)	۲۶
..... شکل ۲۰-۱ نمودار حلقوی اتصال خورجینی در مقیاس یک دوم (اربایی)	۲۶
..... شکل ۲۱-۱ انواع مدل‌های بارگذاری (مقدم و صادقیان)	۲۸
..... شکل ۲۲-۱ تغییرات سختی اتصالات خورجینی با افزایش بار (مقدم و صادقیان)	۲۸
..... شکل ۲۳-۱ تغییرات تنش فون میسین در نقاط حساس جوش نبشی‌ها از نمونه A1 (مقدم و صادقیان)	۲۹
..... شکل ۲۴-۱ تغییرات کرنش خمیری در نقاط حساس جوش نبشی‌ها در نمونه D1 (مقدم و صادقیان)	۲۹
..... شکل ۲۵-۱ تغییرات تنش فون میسین در نقاط حساس جوش نبشی‌ها در نمونه D1 (مقدم و صادقیان)	۲۹
..... شکل ۲۶-۱ آرایش کلی آزمایش‌ها	۳۱
..... شکل ۲۷-۱ نمونه‌ای از اتصال نیمه‌صلب پیچی	۳۷
..... شکل ۲۸-۲ اتصال خورجینی کامل و یکطرفه	۳۸
..... شکل ۲۹-۲ فروریزش یک ساختمان با اتصالات خورجینی در زلزله به	۴۰
..... شکل ۳۰-۲ عملکرد نبشی‌های اتصال خورجینی در انتقال لنگر	۴۱
..... شکل ۳۱-۲ اتصال خورجینی تحت لنگر زلزله	۴۲
..... شکل ۳۲-۲ جزئیات اتصال خورجینی با نشیمن نرم	۴۳
..... شکل ۳۳-۲ جزئیات اتصال خورجینی با نشیمن سخت	۴۴
..... شکل ۳۴-۲ اتصال گیردار نوع ۱	۴۴
..... شکل ۳۵-۲ اتصال گیردار نوع ۲	۴۵
..... شکل ۳۶-۲ جزئیات اتصال خورجینی گیردار نوع ۱	۴۵
..... شکل ۳۷-۲ جزئیات اتصال خورجینی گیردار نوع ۲	۴۵

۱۲-۲	شكل ۱۲-۲ صلبیت اتصالات نیمه‌گیردار تابعی از سختی چرخشی اتصال.....
۵۱	شکل ۱-۳ اهداف عملکردی در طراحی و ارتقا سازه‌ها.....
۵۳	شکل ۲-۳ سطح عملکرد خدمت‌رسانی بی‌وقفه
۵۳	شکل ۳-۳ سطح عملکرد قابلیت استفاده بی‌وقفه
۵۳	شکل ۴-۳ سطح عملکرد ایمنی جانی.....
۵۵	شکل ۵-۳ سطح عملکرد آستانه فروریزش.....
۵۷	شکل ۶-۳ نسبت هزینه‌ها با توجه به هدف عملکردی
۵۸	شکل ۷-۳ توزیع‌های مورد استفاده در مدل‌ها.....
۵۹	شکل ۸-۳ رابطه نیرو - تغییرشکل اجزا.....
۵۹	شکل ۹-۳ منحنی رفتاری اجزا برای مدل‌سازی و تحلیل
۶۰	شکل ۱۰-۳ وضعیت تغییرشکل خمشی اجزا.....
۶۱	شکل ۱۱-۳ منحنی رفتاری ستونها.....
۶۲	شکل ۱۲-۳ منحنی رفتاری ستونها در خمش.....
۶۳	شکل ۱۳-۳ منحنی رفتاری اتصال خورجینی.....
۶۴	شکل ۱۴-۳ منحنی رفتاری مهاربندی‌های هم محور در کشش و فشار.....
۶۵	شکل ۱۵-۳ منحنی رفتاری ستون‌ها در کشش
۶۵	شکل ۱۶-۳ منحنی هیسترزیس مهاربندی متقابله تحت بار سیکلی.....
۶۵	شکل ۱۷-۳ منحنی هیسترزیس یک جزء از سازه تحت دو زمین‌لرزه مختلف
۶۷	شکل ۱۸-۳ معیار پذیرش تغییرشکل اجزا.....
۶۷	شکل ۱۹-۳ معیارهای پذیرش اجزا.....
۷۵	شکل ۱-۴ منحنی ساده شده نیرو - تغییرمکان
۷۸	شکل ۲-۴ نمودارهای انواع زوال‌ها.....
۷۹	شکل ۳-۴ منحنی ایدهآل نیرو - جایگایی جهت استفاده در آنالیز استاتیکی غیرخطی
۸۵	شکل ۱-۵ ضریب بازتاب ساختمان برای زمین نوع II با خطر نسی خیلی زیاد
۸۷	شکل ۲-۵ نمایی از قلهای، ۴، ۶ و ۸ طبقه مهاربندی شده دارای اتصال متداول خورجینی
۹۶	شکل ۱-۶ نحوه تعیین Sa
۹۸	شکل ۲-۶ تغییرمکان‌های هدف برای قلهای، ۴، ۶ و ۸ طبقه
۹۹	شکل ۳-۶ مقایسه تغییرمکان‌های هدف برای قلهای، ۴، ۶ و ۸ طبقه
۱۰۰	شکل ۴-۶ منحنی‌های پوش‌اور و مدل دو خطی معادل آنها برای قاب چهار طبقه
۱۰۱	شکل ۵-۶ منحنی‌های پوش‌اور و مدل دو خطی معادل آنها برای قاب شش طبقه
۱۰۲	شکل ۶-۶ منحنی‌های پوش‌اور و مدل دو خطی معادل آنها برای قاب هشت طبقه
۱۰۵	شکل ۷-۶ ماکریزم تغییرمکان نسبی طبقات در قاب ۴ طبقه تحت شتابنگاشت Berkeley بر اساس FEMA 440
۱۰۶	شکل ۸-۶ نسبت تغییرمکان نسبی طبقات در قاب ۴ طبقه بر اساس FEMA 440 با توزیع آینین‌نامه
۱۰۶	شکل ۹-۶ درصد خطای توزیع بار جانبی در FEMA 440 با توزیع آینین‌نامه‌ای نسبت به SNDP در قاب ۴ طبقه
۱۰۸	شکل ۱۰-۶ نسبت تغییر مکان نسبی طبقات در قاب ۴ طبقه بر اساس FEMA 440 با توزیع یکنواخت
۱۰۸	شکل ۱۱-۶ درصد خطای توزیع بار جانبی در FEMA 440 با توزیع یکنواخت نسبت به SNDP در قاب ۴ طبقه
۱۱۰	شکل ۱۲-۶ ماکریزم تغییر مکان نسبی طبقات در قاب ۶ طبقه تحت شتابنگاشت Berkeley بر اساس FEMA 440
۱۱۱	شکل ۱۳-۶ نسبت تغییر مکان نسبی طبقات در قاب ۶ طبقه بر اساس FEMA 440 با توزیع آینین‌نامه

شکل ۱۴-۶ درصد خطای توزیع بار جانبی در FEMA 440 با توزیع آینن‌نامه‌ای نسبت به SNDP در قاب ۶ طبقه.....	۱۱۱
شکل ۱۵-۶ نسبت تغییر مکان نسبی طبقات در قاب ۶ طبقه بر اساس FEMA 440 با توزیع یکنواخت.....	۱۱۳
شکل ۱۶-۶ درصد خطای توزیع بار جانبی در FEMA 440 با توزیع یکنواخت نسبت به SNDP در قاب ۶ طبقه.....	۱۱۳
شکل ۱۷-۶ ماکریم تغییر مکان نسبی طبقات در قاب ۸ طبقه تحت شتابنگاشت Berkeley بر اساس FEMA 440.....	۱۱۵
شکل ۱۸-۶ نسبت تغییر مکان نسبی طبقات در قاب ۸ طبقه بر اساس FEMA 440 با توزیع آینن‌نامه.....	۱۱۶
شکل ۱۹-۶ درصد خطای توزیع بار جانبی در FEMA 440 با توزیع آینن‌نامه‌ای نسبت به SNDP در قاب ۸ طبقه.....	۱۱۷
شکل ۲۰-۶ نسبت تغییر مکان نسبی طبقات در قاب ۸ طبقه بر اساس FEMA 440 با توزیع یکنواخت.....	۱۱۸
شکل ۲۱-۶ درصد خطای توزیع بار جانبی در FEMA 440 با توزیع یکنواخت نسبت به SNDP در قاب ۸ طبقه.....	۱۱۹
شکل ۲۲-۶ میزان درصد خطا در روش Code-440 در مدل‌های مورد بررسی.....	۱۲۰
شکل ۲۳-۶ میزان درصد خطا در روش Uniform-440 در مدل‌های مورد بررسی.....	۱۲۰

چکیده

اتصال خورجینی یکی از اتصالات رایج تیر به ستون در سازه‌های کوتاه و متوسط فولادی است که به‌طور وسیع در ایران به کار رفته و مورد استفاده قرار گرفته است. بر اساس مشاهدات صورت گرفته در زلزله‌های اخیر، این سازه‌ها به شدت آسیب‌پذیر بوده و به دلیل عدم وجود اطلاعات کافی و مستند به صورت آیین‌نامه در مورد این گونه اتصالات، ارزیابی مناسبی از عملکرد آنها به هنگام وقوع زلزله انجام نگرفته است. طی سالیان اخیر روش‌هایی به منظور درک صحیح از رفتار سازه‌ها ایجاد شده است که از مهمترین آنها می‌توان، طراحی بر اساس عملکرد را نام برد که در آن می‌توان از روش‌های تحلیل استاتیکی غیرخطی همچون طیف ظرفیت و روش ضرایب جابجایی به عنوان روش‌هایی مناسب جهت ارزیابی عملکرد سازه‌ها استفاده کرد.

هدف از این تحقیق، ارزیابی کارایی روش ضرایب اصلاح شده در دستورالعمل FEMA 440 در تعیین نسبت تغییرمکان نسبی طبقات در سازه‌های با اتصالات خورجینی می‌باشد، که در نهایت به منظور بررسی میزان دقت این روش از روش آنالیز دینامیکی غیرخطی مقیاس شده (Scaled Nonlinear Dynamic Procedure) استفاده شده است. بدین منظور ابتدا از ۱۴ شتابنگاشت استفاده گردید که پس از آنالیز و دریافت نتایج، مشاهده گردید که نتایج بسیار به یکدیگر نزدیک بوده و نیازی به در نظر گرفتن شتابنگاشت اضافی نمی‌باشد. بنابراین در ادامه کار از شش شتابنگاشت استفاده گردید. گرچه این موضوع در پیش‌نویس FEMA 440 نیز به آن اشاره شده است و استفاده از حداقل سه شتابنگاشت را کافی و لازم می‌داند. از آنجا که استفاده از این روش (SNDP) تاکنون در مورد سازه‌های با اتصالات خورجینی صورت نگرفته است، منظور نمودن تعداد بیشتری شتابنگاشت (در این تحقیق ۱۴ شتابنگاشت) برای شروع کار امری ضروری به نظر می‌رسید. با توجه به نتایج حاصل شده از آنالیزها و مقایسه دو روش استاتیکی و دینامیکی غیرخطی مشخص گردید که در پاره‌ای از موارد برخلاف قاب‌های خمشی که اغلب روش استاتیکی غیرخطی، پاسخ‌های محافظه‌کارانه‌ای را نتیجه می‌دهد، در مورد قاب‌های با اتصالات خورجینی چنین نمی‌باشد. بنابراین لزوم توجه بیشتر مهندسین در امر بهسازی این گونه سیستم‌ها که به وفور از آن در کشور استفاده می‌گردد، ضروری به نظر می‌رسد.

فصل اول

مقدمه

۱-۱ مقدمه

کشور پهناور ایران بر روی کمر بند زلزله آلپ-هیمالیا در امتداد شرق به غرب کوههای هیمالیا که تا دریای مدیترانه ادامه دارد واقع گردیده است. همچنین قرارگیری ایران زمین در یک پهنه فشاری، در میان صفحات عربستان در جنوب باختر و توران در شمال و شمال خاوری، موجب می‌شود که زمین‌لرزه‌های کوچک و بزرگی هرساله به عنوان آثار این وضعیت زمین‌ساختاری روی دهند. طی سال‌های گذشته بر اثر وقوع زلزله‌های مخرب، هزاران نفر جان خود را از دست داده و میلیاردها ریال خسارت مالی به جای مانده است که از جمله این زلزله‌ها می‌توان به زلزله‌های طبس (۱۹۷۸)، منجیل-رودبار (۱۹۹۰) و پس از آن زلزله بم (۲۰۰۳) اشاره کرد. لذا با توجه به زلزله‌خیز بودن کشور ما که همه ساله خسارات جانی و مالی زیادی را به همراه دارد، توجه به فن مهندسی زلزله یکی از ضروری‌ترین مسائلی است که باید به آن پرداخته شود. به همین دلیل تحقیق درباره روش طراحی ساختمان‌ها و رفتار آنها در برابر زلزله دارای اهمیت ویژه‌ای می‌باشد.

در گذشته با توجه به مقررات لرزه‌ای در آمریکا، پس از انتشار اولین آیین‌نامه ساختمانی PCBO(1927)، هدف از طرح لرزه‌ای این بود که ساختمان‌ها توانایی ایستادگی در مقابل بارهای لرزه‌ای را بدون فروریزش یا تلفات جانی داشته باشند. پس از وقوع زلزله San Fernando در سال ۱۹۷۱ در ایالت کالیفرنیا و به دلیل خرابی‌های زیاد ایجاد شده در اثر این زلزله، انجمن مهندسین سازه کالیفرنیا^۱ با تاسیس کمیته تکنولوژی کاربردی (ATC)^۲ در سال ۱۹۷۸ آیین‌نامه طرح ساختمان‌ها در برابر زلزله ۰۶ ATC را منتشر کرد. از آن زمان به بعد در کشورهای مختلف آیین‌نامه‌هایی برای طرح لرزه‌ای ساختمان‌ها تدوین گردید که بسیاری از آنها بر مبنای فلسفه آیین‌نامه ۰۶ ATC آمریکا نوشته شدند. پس از آن، انجمن مهندسین سازه کالیفرنیا با توجه به تحقیقات جدید در زمینه طرح لرزه‌ای مسؤولیت تدوین آیین‌نامه UBC^۳ را عهده‌دار شد و کمیته ساختمان ایمن در برابر زلزله (BSSC)^۴ به دستور آژانس مدیریت بحران (FEMA)^۵ اولین آیین‌نامه با هدف بهسازی لرزه‌ای ساختمان‌های موجود را در سال ۱۹۸۵ منتشر ساخت. در سالهای ۱۹۸۸، ۱۹۹۱، ۱۹۹۴، ۱۹۹۷، ۲۰۰۰ و ۲۰۰۳ تجدید نظرهای کلی در این آیین‌نامه‌ها صورت گرفته است. در سالهای اخیر با افزایش دانش بشری درباره پدیده زلزله و نحوه رفتار سازه‌ها در برابر این پدیده، محققان گامهای موثری در طراحی سازه‌های مقاوم در برابر زلزله برداشته و راهکارهای جدیدی را برای افزایش ایمنی لرزه‌ای ساختمان‌ها ارایه کرده‌اند که بدون شک منشأ تحولاتی بنیادی در آیین‌نامه‌ها شده است.^[۱]

در دهه‌های اخیر میزان خسارت‌های وارد در اثر زمین‌لرزه‌ها حدود بیست برابر بیش از ۳۰ سال قبل برآورد شده و این مساله کارشناسان را بر آن داشت که روش‌های جدیدی برای طراحی ساختمان‌ها به کار گیرند ^[۲]. با توجه به اینکه اکثر سازه‌ها حتی در زلزله‌های متوسط هم وارد مرحله غیرخطی رفتاری می‌شوند، پس از بوجود آمدن روش‌های تحلیل غیرخطی سازه‌ها و با پیشرفت نرم‌افزارها و رایانه‌ها، بحث طراحی سازه‌ها بر اساس عملکرد، از مقوله‌هایی است که به‌طور گسترده به آن پرداخته می‌شود. در ایران نیز مدتی است که این دیدگاه برای طراحی سازه‌ها مورد توجه قرار گرفته است. در این روش تعیین نیاز^۶ و ظرفیت^۷ یک سازه تحت زلزله‌های مختلف ضروری بوده که برای نیل به این هدف لازم است از

1-Structural Engineering Association of California

2-Applied Technology Council

3-Uniform Building Code

4-Building Seismic Safety Council

5-Federal Emergency Management Agency

6-Demand

7-Capacity

روش‌های تحلیلی مناسب استفاده شود. نیاز و ظرفیت یک سازه به ترتیب اثر زمین‌لرزه بر روی سازه و توانایی آن برای مقاومت در برابر اثر زلزله می‌باشد.

پیشرفت روزافزون تکنولوژی پردازش داده‌ها در علوم رایانه‌ای امکان تحلیل‌های پیچیده را فراهم ساخته است. این پیشرفت از تحلیل‌های استاتیکی خطی شروع شده و سپس به تحلیل‌های دینامیکی خطی، استاتیکی غیرخطی و نهایتاً دینامیکی غیرخطی منجر گردیده است [۳]. تحلیل‌های خطی به علت عدم توانایی در پیش‌بینی توزیع واقعی نیرو و تغییرمکان در سازه پس از شروع خرابی، ناکارآمد بوده و استفاده از تحلیل‌های غیرخطی برای تعیین مودهای خرابی در سازه‌ها ضروری است. تحلیل‌های دینامیکی غیرخطی تاریخچه زمانی که با استفاده از مجموعه‌ای از شتابنگاشتها انجام می‌پذیرد، شاید واقعی‌ترین تحلیل جهت ارزیابی رفتار سازه باشد اما در این روش باید برای هر بار مطالعه رفتار سازه، چندین نگاشت در نظر گرفته شود که غالباً به علت پیچیدگی و حجم بودن کار، از این روش بیشتر برای کنترل نهایی طراحی‌های انجام شده استفاده می‌شود. به همین دلیل برای سادگی بیشتر روش‌های استاتیکی غیرخطی معادل مورد توجه قرار گرفتند. در این روش‌ها بار جانبی استاتیکی گام به گام افزایش یافته و بدین صورت تصویری از سازه در اختیار قرار می‌دهند که از رفتار الاستیک شروع و به حد جاری شدن و در نهایت فروریزش ختم می‌شود.

در زلزله‌های رودبار و بم بسیاری از سازه‌های فولادی رایج خسارت‌های زیادی را متحمل گشتند، از جمله این سازه‌ها ساختمان‌های با اتصالات خورجینی می‌باشد که نزدیک به نود درصد ساختمان‌های فولادی موجود جهت بهسازی در کشور را شامل می‌شوند. مهم‌ترین علت در آسیب‌پذیری این‌گونه سازه‌ها رفتار ترد اتصالات آنها می‌باشد. این سیستم به طور فراوان در ایران و به ندرت در اسپانیا استفاده شده است و در سایر کشورها یافت نمی‌شود، بنابراین پس از زلزله‌های فوق و تحمیل خسارات زیاد جانی و مالی، محققین را بر آن داشت تا در مورد آن بررسی‌های صورت گیرد و نقاط قوت و ضعف آن مشخص گردد تا بتوان به منظور کاهش آسیب‌پذیری این سازه‌ها اقداماتی انجام پذیرد. خوبشختانه طی سال‌های اخیر به موازات این پژوهش‌ها و به دلیل اهمیت موضوع و به منظور هدفمند کردن ضوابط و استانداردها، دفتر امور فنی، معیارها و کاهش خطرپذیری ناشی از زلزله سازمان مدیریت و برنامه‌ریزی کشور با استفاده از نظر کارشناسان برجسته، مبادرت به تهیه نشریاتی ارزشمند جهت استفاده جامعه مهندسی نموده است. از جمله این نشریات که جهت بهسازی ساختمان‌ها کاربرد فراوانی دارد، دستورالعمل بهسازی لرزه‌ای ساختمان‌های موجود (نشریه ۳۶۰) [۴] می‌باشد که پایه و اساس آن برگرفته از FEMA 356 است. اما از آنجا که در آن رفتار اتصالات خورجینی مشخص نشده است و جهت ارزیابی دقیق این سازه‌ها بدان

نیازمند است، بنابراین لزوم انجام آزمایش‌ها را بدینه می‌سازد. که در این راستا تحقیقاتی صورت گرفته است که در ادامه بدان پرداخته می‌شود.

۲-۱ مروری بر تحقیقات انجام شده [۵]

مشاهده خواری‌های وسیع در ساختمان‌های با اتصال خورجینی در زلزله منجیل در خرداد ۱۳۶۹ محققین را بر آن داشت تا در زمینه اتصالات خورجینی به تحقیق بپردازنند. با توجه به اینکه این اتصال در سطح بین‌المللی یک اتصال استاندارد نیست و در آیین‌نامه‌های فولاد کشورهای مختلف به آن اشاره نشده است، بنابراین کلیه اطلاعات در مورد رفتار این اتصال محدود به تحقیقات انجام شده در داخل کشور می‌شود. به طور کلی می‌توان تحقیقات انجام شده را در غالب پنج دسته زیر دانست:

- مطالعه روی مدل‌های آزمایشگاهی اتصال خورجینی

- مطالعه روی مدل کامپیوترا اتصال خورجینی

- مطالعه روی مدل آزمایشگاهی سازه دارای اتصال خورجینی

- مطالعه روی مدل کامپیوترا سازه دارای اتصال خورجینی

- مطالعه روی مدل تحلیل اتصال خورجینی.

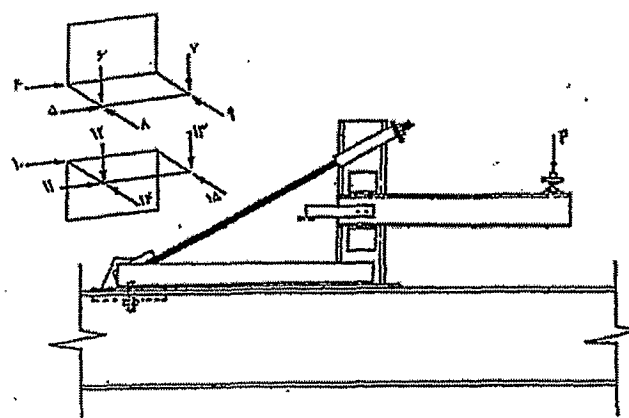
در اینجا مروری بر تحقیقات انجام شده در هفده سال اخیر انجام می‌دهیم.

۱-۲ تحقیقات کرمی و مقدم

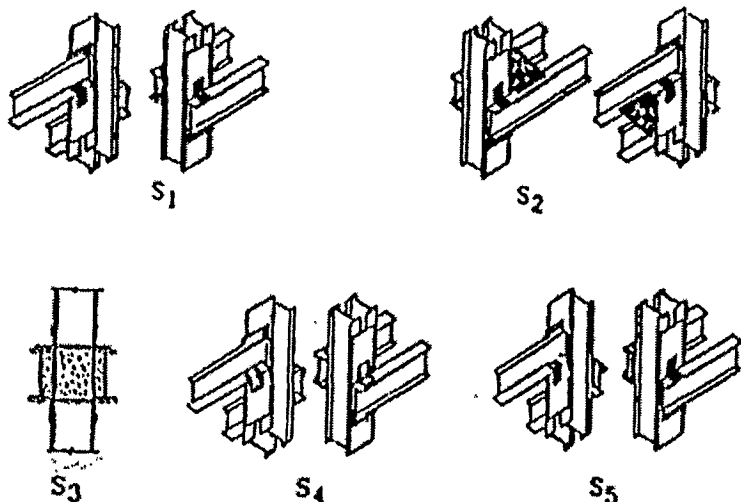
کرمی و مقدم [۶] (۱۳۷۰) با استفاده از امکانات آزمایشگاهی موجود در مرکز تحقیقات ساختمان و مسکن به طرح یک مدل آزمایشگاهی از اتصال خورجینی پرداختند که در شکل ۱-۱ نشان داده شده است. یک قطعه کوتاه از تیر به قطعه‌ای از ستون متصل شده است. تیر به صورت طره تحت بار متمرکز قائم قرار گرفته و لنگری در محل اتصال ایجاد می‌شود. از چرخش ستون به وسیله یک عضو مایل جلوگیری شده است. عوامل و متغیرهای اصلی در این مطالعه شامل اندازه، طول نبشی‌ها و انواع تقویت اتصال می‌باشد.

در این آزمایش‌ها علاوه بر چرخش تیر و ستون جابجایی نقاط مختلف نبشی‌ها در جهات مختلف مطابق شکل ۱-۱ اندازه‌گیری شده است. در کلیه نمونه‌ها ستون عبارت بود از دو نیمرخ INP160 به طول ۷۰ سانتیمتر با فاصله‌ی محور به محور ۲۰ سانتیمتر که توسط ورق‌هایی به ضخامت ۱۰ میلیمتر که در طرفین جوش شده‌اند به هم متصل گشته‌اند. هر تیر از نیمرخ INP140 به طول ۱۰۰ سانتیمتر تشکیل می‌شود. در کلیه اتصالات از نبشی $10 \times 100 \times 100$ L استفاده شد. در مجموع روی پنج نمونه، آزمایش انجام شد که در شکل ۲-۱ نشان داده شده است. طول نبشی‌های بالا و پایین در کلیه نمونه‌ها برابر ۱۲۰

میلیمتر بود. بجز نمونه EX1 که طول نبشی بالایی ۸۰ میلیمتر اختیار شد. در نمونه EX2 دو ورق تقویت زبانه شده در بالا و پایین اتصال به جان ستون جوش شدند. نمونه EX3 همان نمونه EX2 بود با این تفاوت که فضای بین ورق‌های تقویت پایین پر شد. نمونه EX4 بود اما با ورق‌های تقویت قائم که به نبشی‌های اضافه شده بود. نمونه EX5 همان نمونه EX1 بود با این تفاوت که از دو ورق تقویت قائم برای اتصال جان هر تیر به لبه بال ستون استفاده شد. نمونه‌های آزمایشگاهی در شکل ۲-۱ آورده شده است.



شکل ۱-۱ مدل آزمایشگاهی اتصال خورجینی و جابجایی‌های اندازه‌گیری شده (مقدم و کرمی)



شکل ۲-۱ نمونه‌های آزمایشگاهی (مقدم و کرمی)